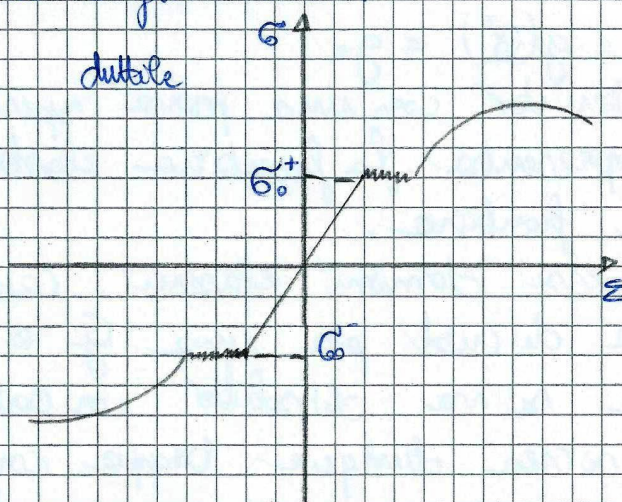


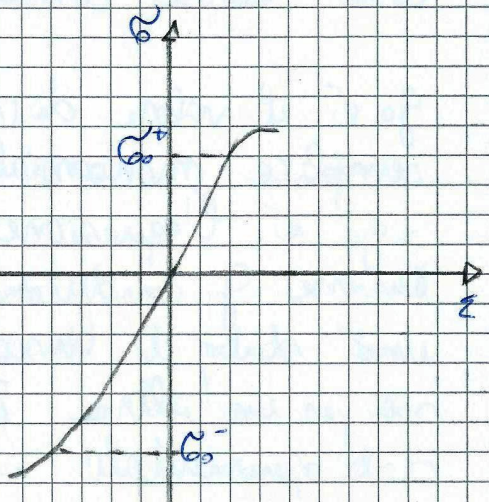
## Lo stato limite elastico

Parliamo dell'entenza sperimentale: lo stato limite elastico e il momento di transizione dal comportamento lineare a quello deformativo:



$$|\tilde{G}_0| = G_0^+$$

Simmetria



$$\tilde{G}_0 \approx G_0$$

Simmetria: coincide con la retta

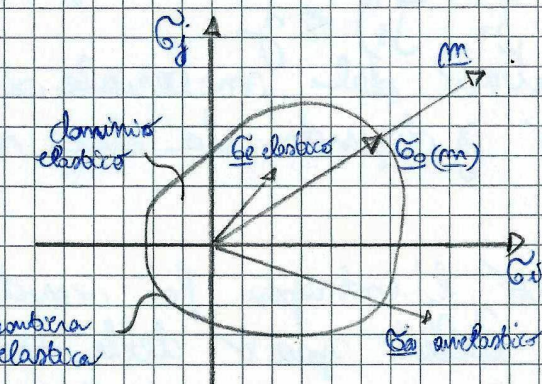
Osserviamo definire un campo in cui il comportamento del materiale sia elastico. Definiamo il dominio elastico nel modo seguente, limitando le tensioni:

$$\tilde{G}_0^- \leq \tilde{G} \leq \tilde{G}_0^+$$

La frontiera di tale dominio è costituita dall'unione dei due punti  $\tilde{G}_0^-$  e  $\tilde{G}_0^+$ :

$$\{\tilde{G}_0^-, \tilde{G}_0^+\}$$

Ci siamo riferiti agli stati monodimensionali. Per allargare il discorso al caso pluridimensionale bisognerà considerare le sei componenti di  $\tilde{T}$ , generando dunque uno spazio astratto a sei dimensioni. Il dominio diviene un'area, la superficie limite elastica, chiusa e convessa e con frontiera continua:



Anche nel caso di tensioni principali è necessario definire sei componenti speciali di tensione:

$$(G_1^+, G_2^+, G_3^+, m_1^+, m_2^+, m_3^+)$$

Non si può validare sperimentalmente in modo completo la frontiera elastica (si dovrebbe controllare infinite punti) se elaboriamo modelli teorici validabili sperimentalmente.

Ora l'admissibilità della validazione sperimentale, a □

introduce un'opportuna grandezza scalare  $G$ , funzione della tensione e definita positiva. Si postula che lo stato limite elastico non abbia quando tale funzione  $G$  raggiunge un certo valore limite:

$$G = g(\underline{\sigma}) \leq g_0$$

$g_0$  è il valore di cui, ottenuto con una prova sperimentale semplice monoscale. Rappresenta la frontiera elastica:  $g(\underline{\sigma}) = g_0$  è l'equazione della frontiera.

Diverse  $G$  conducono a diversi domini elastici: capisci che uno stato di tensione sia di cubi per una  $G$  e non lo sia per un'altra. Tuttavia si va da solito in accordo coi dati sperimentali e non viene dunque troppo confusione.

### La funzione di resistenza elastica $g(\underline{\sigma})$

Sempre nell'ipotesi di materiale isotropo, vediamo alcune proprietà della funzione  $g(\underline{\sigma})$ .

Quisibilità  $g(\underline{\sigma})$  dipende solo dalle tre tensioni primarie e non dall'orientazione nello spazio!

$$g(\underline{\sigma}_1, \underline{\sigma}_2, \underline{\sigma}_3) \leq g_0$$

$$g(\underline{J}_1, \underline{J}_2, \underline{J}_3) \leq g_0$$

(in  $\underline{\sigma}_1, \underline{\sigma}_2$  e  $\underline{\sigma}_3$  permutable).  $g_0$  si ottiene con una prova monoscale:

$$g_0 = g(\underline{\sigma}, 0, 0) = g(0, \underline{\sigma}, 0) = g(0, 0, \underline{\sigma})$$

$J_1, J_2$  e  $J_3$  sono automaticamente invertibili

Quando detta funzione vale sia per i materiali fragili che per quelli duttili. Per i materiali duttili metallici (non fragili e geotecnici) lo stesso discorso dipende inoltre dalla sola parte derivativa della tensione. I metalli giungono alla rottura per slittamento, non per altre deformazioni.

$$g(\underline{J}_1, \underline{J}_2, \underline{J}_3) \leq g_0$$

Per il comportamento simmetrico del materiale si ha  $J_i = 0$  ( $g(\underline{\sigma}) = g(-\underline{\sigma})$ ). Pertanto  $g$  dipende da due sole variabili.

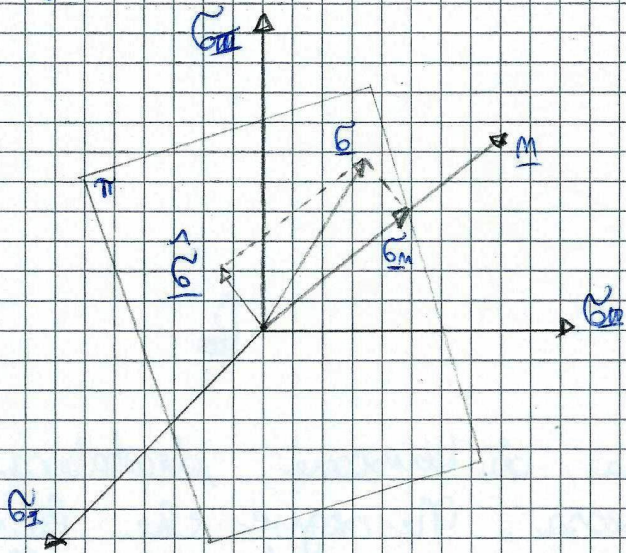
Dal punto di vista geometrico, l'isotropia fa scendere a 3 il numero delle dimensioni dello spazio delle tensioni  $\Sigma = (\underline{\sigma}_1, \underline{\sigma}_2, \underline{\sigma}_3)$ . Essa rimane comunque astratto, non fisico ed è relativo alle tensioni principali.

<sup>31</sup>  
Il vettore  $\underline{G}$  rappresenta la sbalzo di tensione nel punto materiale  $p$ . Esistono  $3^3$  orientazioni possibili delle tensioni principali nello spazio fisico. Un materiale isotropo bittante non risente delle variazioni di orientazione.

Particolarmemente rilevanti sono i vettori  $\underline{G}$  collineari con il versore:

$$m = \frac{\sqrt{3}}{3} (k_x + k_y + k_z)$$

In giace sulle bisettrici del primo ottante. I vettori  $\underline{G}$  ortogonali a  $m$  determinano il piano deviatorio:



$$G_x = G_y = G_m \text{ su } m$$

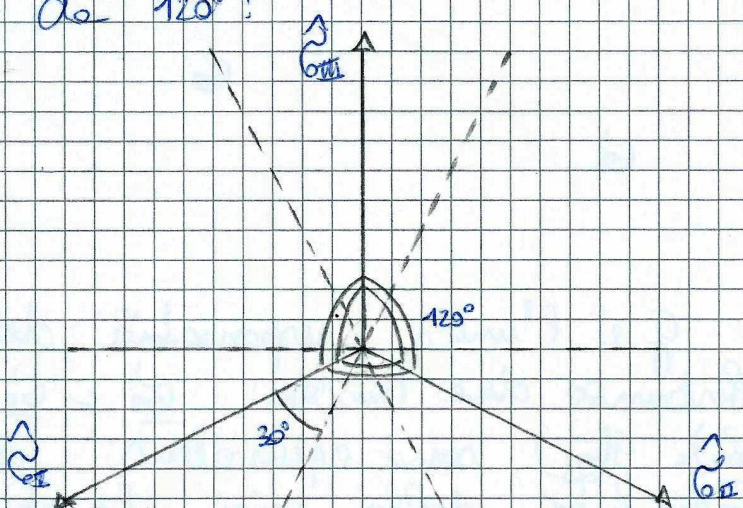
$$\underline{G} \cdot \underline{m} = 0 \Leftrightarrow \underline{G} \in \pi$$

Equazione piano deviatorio:

$$G_x + G_y + G_m = 0$$

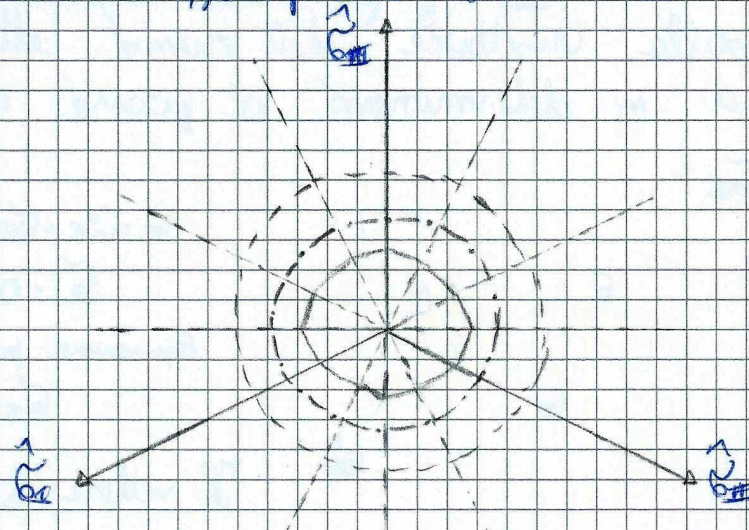
Il vettore  $\underline{G}$  bressolo è generico, non appartiene al piano deviatorio  $\pi$ . Il suo componente deviatorio è  $\underline{G}$ , quello idrostatico è  $\underline{G}_m$ .

Per scoprire gli effetti deviatori delle tensioni su una superficie elastica è utile proiettare tale superficie sul piano  $\pi$ . La proiezione è semplice da effettuarsi perché gli assi  $G_x$ ,  $G_y$  e  $G_m$  formano angoli di  $60^\circ$  fra angoli di  $120^\circ$ :

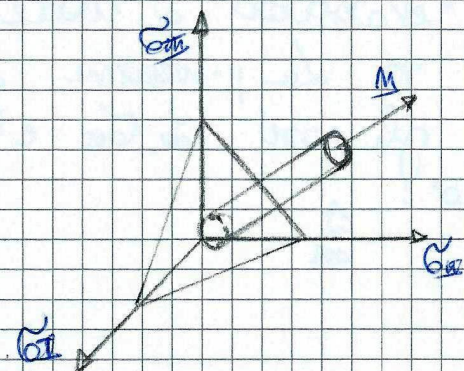


Per proiettare una superficie elastica è necessario sezionarla con piani paralleli al piano deviatorio. Essendo il materiale isotropo, le curve devono

essere simmetriche rispetto agli assi  $\hat{G}_x$ . Inoltre, per il comportamento simmetrico di  $g(\hat{G}) = g(-\hat{G})$ , le simmetrie delle curve deve risalire anche rispetto alle bisettrici dei tre assi  $\hat{G}_x$ . Dunque, avendo 12 assi di simmetria che formano angoli consecutivi di  $30^\circ$ , ci basterà definire le curve su un settore de  $30^\circ$  per conoscere tutta la rappresentazione sul piano dentionario.



Con l'ipotesi di indifferenza di tensione probabilistica le curve non sono sempre la stessa. Ne segue che le superficie elastica è un cilindro con generatrici parallele all'asse di dentatura:



### La tensione ideale

La grandezza  $G$  è l'unica responsabile della curva del materiale. Perbacco due tensioni  $\underline{G}_1$  e  $\underline{G}_2$  differenti, ma tali che  $g(\underline{G}_1) = g(\underline{G}_2)$ , sono equivalenti dal punto di vista del raggiungimento delle crisi. Esistono infinite tensioni appartenenti a una stessa classe di equivalenza. La più semplice è quella monodattile, indipendente dall'incrementazione delle superficie con uno dei tre assi.

essa è detta  $\sigma_{\text{ed}}$ , tensione ideale. È la tensione che il cubo monosassiale fa raggiungere a  $\sigma$  la stessa valore che assume nello stato attuale ( $\sigma_1, \sigma_2, \sigma_3$ ):

$$\sigma = g(\sigma_1, \sigma_2, \sigma_3) = g(\sigma_{\text{ed}}, 0, 0)$$

Si può scrivere  $\sigma_{\text{ed}} = f(\sigma_1, \sigma_2, \sigma_3)$

$$\sigma_{\text{ed}} = f(\sigma_1, \sigma_2, \sigma_3)$$

Si parla di tensione monosassiale equivalente: da una storia di tensione generica tridimensionale si ottiene  $\sigma_{\text{ed}}$  monosassiale equivalente. Si può usare tale procedimento anche per scrivere le curve di resistenza ideale. Ricordando che la condizione di elasticità era data da  $\sigma \leq \sigma_0 = g(\sigma_0)$ , ponendo anche che essa è equivalente:

$$\frac{\sigma}{\sigma_0} \Leftrightarrow \sigma_{\text{ed}} \leq \sigma_0$$

### Criterio di resistenza

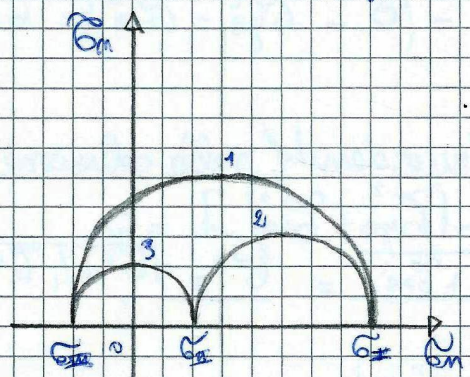
Poniamo generalizzazione la grandezza  $\sigma = g(\vec{\sigma})$  per ottenere il criterio di resistenza. Generalizzazione significa privilegiare alcuni aspetti piuttosto che altri.

- criterio della tensione tangenziale massima o criterio di Bressa:

$$\sigma_{\text{max}}(\sigma_1, \sigma_2, \sigma_3) \leq \sigma_{\text{max}}$$

La curva è determinata dal raggiungimento del valore di soglia  $\sigma_{\text{max}}$  del parabola delle tensioni tangenziali massime  $\sigma_{\text{max}}$ .

Ricordando che la  $\sigma_{\text{max}}$  egualta il raggiro della circonferenza di Mohr più esterna adottiamo:



$$1) \frac{\sigma_1 - \sigma_2}{2} \quad 2) \frac{\sigma_2 - \sigma_3}{2}$$

$$3) \frac{\sigma_1 - \sigma_3}{2} = \sigma_{\text{max}}$$

In questi casi  $\sigma_{\text{max}}$  è legato alle tensioni principali  $\sigma_1$  e  $\sigma_3$ .

Nel caso generale invece:

$$\sigma_{\text{max}} = \frac{1}{2} \max(|\sigma_1 - \sigma_2|, |\sigma_2 - \sigma_3|, |\sigma_1 - \sigma_3|)$$

La diseguaglianza univale ( $\tilde{\sigma}_{\max}(\tilde{\sigma}_x, \tilde{\sigma}_y, \tilde{\sigma}_{xy}) \leq \tilde{\sigma}_{\max}$ ) presenta  $\tilde{\sigma}_{\max}$ . Essa può essere eliminata valutando l'equazione precedente in corrispondenza dello stato limite elastico omogeneo. Si ottiene:

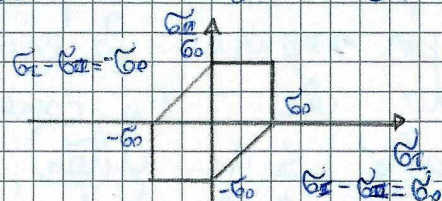
$$\tilde{\sigma}_{\max} = \frac{1}{2} \tilde{\sigma}_0$$

Da cui:

$$\max(|\tilde{\sigma}_x - \tilde{\sigma}_m|, |\tilde{\sigma}_y - \tilde{\sigma}_m|, |\tilde{\sigma}_{xy} - \tilde{\sigma}_m|) \leq \tilde{\sigma}_0$$

Diseguaglianza che rappresenta il dominio elastico. Nel piano si ha  $\tilde{\sigma}_m = 0$  e la frontiera diviene:

$$\begin{aligned}\tilde{\sigma}_x &= \pm \tilde{\sigma}_0 \\ \tilde{\sigma}_y &= \pm \tilde{\sigma}_0 \\ \tilde{\sigma}_{xy} &= \pm \tilde{\sigma}_0\end{aligned}$$



Possiamo anche considerare la tensione totale:

$$(\tilde{\sigma}_{\text{id}}, 0, 0) \Rightarrow \tilde{\sigma}_{\text{totale}} = \frac{\tilde{\sigma}_{\text{id}}}{2} \quad (\text{stab massimale})$$

Confrontando con l'equazione di  $\tilde{\sigma}_{\max}$ :

$$\tilde{\sigma}_{\text{id}} = \max(|\tilde{\sigma}_x - \tilde{\sigma}_m|, |\tilde{\sigma}_y - \tilde{\sigma}_m|, |\tilde{\sigma}_{xy} - \tilde{\sigma}_m|)$$

La verifica di rispondenza, sempre valida e sempre facile è:

$$\tilde{\sigma}_{\text{id}} \leq \tilde{\sigma}_0$$

Consideriamo ad esempio uno stabo piano ( $I_{z=0}$ ) di questo tipo:

$$\Pi = \begin{bmatrix} 0 & 0 & \tilde{\sigma}_{xz} \\ 0 & 0 & \tilde{\sigma}_{yz} \\ \tilde{\sigma}_{xz} & \tilde{\sigma}_{yz} & \tilde{\sigma}_z \end{bmatrix}$$

e lo stabo di tensione alla Saint-Venant.

La tensione tangenziale risultante è dunque:

$$\tilde{\sigma} = \sqrt{\tilde{\sigma}_{xz}^2 + \tilde{\sigma}_{yz}^2} \Rightarrow \hat{\Pi} = \begin{bmatrix} 0 & \tilde{\sigma} \\ \tilde{\sigma} & \tilde{\sigma} \end{bmatrix} \quad \text{con } \tilde{\sigma} = \tilde{\sigma}_0$$

Consideriamo:

$$\tilde{\sigma}_z = \text{tr} \hat{\Pi} = \tilde{\sigma}_0$$

$$\tilde{\sigma}_2 = -(0 - \tilde{\sigma}_{yz}^2 - \tilde{\sigma}_{xz}^2) = \tilde{\sigma}_{yz}^2 + \tilde{\sigma}_{xz}^2$$

$$\tilde{\sigma}_3 = 0$$

L'equazione caratteristica è (ricordando, nella soluzione,  $\tilde{\sigma} \neq 0$  qui sopra):

$$\lambda^3 - \tilde{\sigma}_0 \lambda^2 - (\tilde{\sigma}_{yz}^2 + \tilde{\sigma}_{xz}^2) \lambda + 0 = 0$$

$$\lambda_0 = 0, \quad \lambda_{1,2} = \frac{\tilde{\sigma}_0 \pm \sqrt{\tilde{\sigma}_0^2 + 4(\tilde{\sigma}_{yz}^2 + \tilde{\sigma}_{xz}^2)}}{2} = \frac{\tilde{\sigma}_0 \pm \sqrt{\tilde{\sigma}_0^2 + 4\tilde{\sigma}_0^2}}{2}$$

Ora moli:

$$\tilde{\sigma}_{I,\pm} = \frac{1}{2} (\tilde{\sigma}_0 \pm \sqrt{\tilde{\sigma}_0^2 + 4\tilde{\sigma}_0^2}) \quad \tilde{\sigma}_m = 0$$

Ricordando che la  $\tilde{\sigma}_{\text{id}}$  è uguale al raggio massimo

mo nel grafico dell'andamento si ha:

$$\tilde{\sigma}_{\text{vol}} = \max \left[ \sqrt{\tilde{\sigma}^2 + 4\tilde{\tau}^2}, \frac{1}{2} (\tilde{\sigma} + \sqrt{\tilde{\sigma}^2 + 4\tilde{\tau}^2}), \frac{1}{2} (\tilde{\sigma} + \sqrt{\tilde{\sigma}^2 + 4\tilde{\tau}^2}) \right] = \\ = \sqrt{\tilde{\sigma}^2 + 4\tilde{\tau}^2}$$

Notiamo che  $\sqrt{\tilde{\sigma}^2 + 4\tilde{\tau}^2} > \tilde{\sigma}$

- criterio della tensione tangenziale obliqua o criterio di Huber - Von Mises - Hencky. La tensione obliqua è:

$$\tilde{\sigma}_{\text{ob}} = \frac{1}{3} \sqrt{(\tilde{\sigma}_x - \tilde{\sigma}_{\text{II}})^2 + (\tilde{\sigma}_{\text{II}} - \tilde{\sigma}_{\text{III}})^2 + (\tilde{\sigma}_{\text{III}} - \tilde{\sigma}_x)^2}$$

Basandosi sull'ipotesi che la grandezza responsabile della crisi sia la tensione tangenziale obliqua  $\tilde{\sigma}_{\text{ob}}$ . Allora, mors

$$\tilde{\sigma}_{\text{ob}}(\tilde{\sigma}_x, \tilde{\sigma}_{\text{II}}, \tilde{\sigma}_{\text{III}}) \leq \tilde{\sigma}_{\text{ob}}$$

Calcolando  $\tilde{\sigma}_{\text{ob}}$  per  $(\tilde{\sigma}_0, 0, 0)$  si ottiene:

$$\tilde{\sigma}_{\text{ob}} = \sqrt{2} \tilde{\sigma}_0$$

Equivalentemente il risultato si ottiene per  $\tilde{\sigma}_{\text{ob}} = \tilde{\sigma}_{\text{ob}}(\tilde{\sigma}_0, 0, 0) = \tilde{\sigma}_{\text{ob}}(0, \tilde{\sigma}_0, 0) = \tilde{\sigma}_{\text{ob}}(0, 0, \tilde{\sigma}_0)$ . Quindi:

$$(\tilde{\sigma}_x - \tilde{\sigma}_{\text{II}})^2 + (\tilde{\sigma}_{\text{II}} - \tilde{\sigma}_{\text{III}})^2 + (\tilde{\sigma}_{\text{III}} - \tilde{\sigma}_x)^2 \leq 2 \tilde{\sigma}_0^2$$

Sulla frontiera vale l'uguaglianza, che corrisponde ad un cilindro circolare retto con asse obliquissimo  $\alpha$ .

Considereremo solo stati biaxiali, cioè con  $\tilde{\sigma}_z$  e  $\tilde{\tau}_{xz}$  variabili e  $\tilde{\tau}_{yz} = 0$ . Si ottiene quindi un'ellisse che ha come assi le bisettrici del sistema  $(\tilde{\sigma}_x, \tilde{\sigma}_{\text{II}})$

$$(\tilde{\sigma}_x - \tilde{\sigma}_{\text{II}})^2 + \tilde{\sigma}_{\text{II}}^2 + \tilde{\sigma}_x^2 \leq 2 \tilde{\sigma}_0^2 \Rightarrow 2 \tilde{\sigma}_x^2 + 2 \tilde{\sigma}_{\text{II}}^2 - 2 \tilde{\sigma}_x \tilde{\sigma}_{\text{II}} \leq 2 \tilde{\sigma}_0^2 \\ \Rightarrow \tilde{\sigma}_x^2 - \tilde{\sigma}_x \tilde{\sigma}_{\text{II}} + \tilde{\sigma}_{\text{II}}^2 \leq \tilde{\sigma}_0^2$$

Con la solita verifica di resistenza  $\tilde{\sigma}_{\text{vol}} \leq \tilde{\sigma}_0$

Ricaviamo  $\tilde{\sigma}_{\text{vol}}$  dall'uguaglianza:

$$\tilde{\sigma}_{\text{vol}}(\tilde{\sigma}_x, \tilde{\sigma}_{\text{II}}, \tilde{\sigma}_{\text{III}}) = \tilde{\sigma}_{\text{vol}}(\tilde{\sigma}_0, 0, 0) = \sqrt{\frac{2}{3}} \tilde{\sigma}_0$$

Perciò:

$$\tilde{\sigma}_{\text{vol}} = \frac{1}{2} \sqrt{(\tilde{\sigma}_x - \tilde{\sigma}_{\text{II}})^2 + (\tilde{\sigma}_{\text{II}} - \tilde{\sigma}_{\text{III}})^2 + (\tilde{\sigma}_{\text{III}} - \tilde{\sigma}_x)^2}$$

Nel caso particolare della tensione allo Stato Venerdi:

$$\Pi = \begin{bmatrix} 0 & 0 & \tilde{\tau}_{xz} \\ 0 & 0 & \tilde{\tau}_{yz} \\ \tilde{\sigma}_{xz} & \tilde{\sigma}_{yz} & \tilde{\sigma}_z \end{bmatrix} \Rightarrow \Pi = \begin{bmatrix} 0 & \tilde{\tau} \\ \tilde{\tau} & \tilde{\sigma} \end{bmatrix}$$

Ricordiamo  $\tilde{\sigma}_{\text{II}} = \frac{1}{2} (\tilde{\sigma} \pm \sqrt{\tilde{\sigma}^2 + 4\tilde{\tau}^2})$ ,  $\tilde{\sigma} = \sqrt{\tilde{\sigma}_{xz}^2 + \tilde{\sigma}_{yz}^2}$ . Quindi:

$$\tilde{\sigma}_{\text{vol}} = \frac{\tilde{\sigma}_z}{2} \sqrt{(\sqrt{\tilde{\sigma}^2 + 4\tilde{\tau}^2})^2 + \left(\frac{\tilde{\sigma}}{2} - \frac{1}{2} \sqrt{\tilde{\sigma}^2 + 4\tilde{\tau}^2}\right)^2 + \left(\frac{\tilde{\sigma}}{2} + \frac{1}{2} \sqrt{\tilde{\sigma}^2 + 4\tilde{\tau}^2}\right)^2} = \square$$

$$= \frac{\sqrt{2}}{2} \left[ 6^2 + 4 \cdot 6^2 + \frac{6^2}{4} + \frac{1}{4} (6^2 + 4 \cdot 6^2) - \frac{6^2 + 4 \cdot 6^2}{2} + \frac{6^2}{4} + \frac{1}{4} (6^2 + 4 \cdot 6^2) + \right. \\ \left. + \frac{6^2}{2} \right] = \frac{\sqrt{2}}{2} \cdot \sqrt{2 \cdot 6^2 + 6 \cdot 6^2} = \sqrt{6^2 + 3 \cdot 6^2}$$

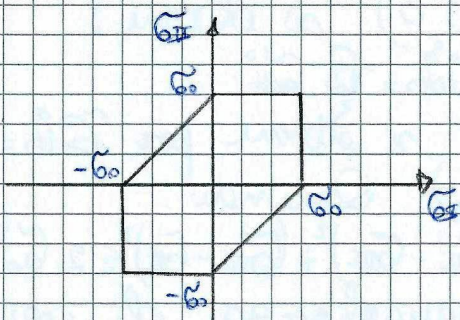
Riassumendo:

$$\text{Gid} = \sqrt{6^2 + 3 \cdot 6^2} \leq 6.$$

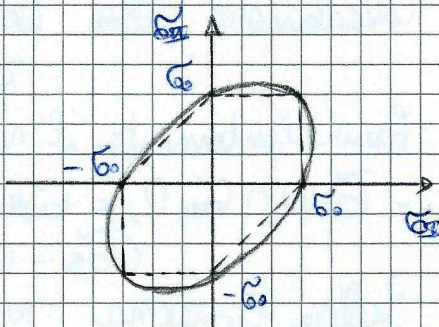
C'è la buona monotassiale di riferimento. Il 3 sotto radice, coefficiente di  $\tilde{v}^2$ , è rappresentabile del caso Huber-Mises-Hencky. Nel caso di Fresca si ha 4, non 3.

Confrontiamo graficamente i due metodi visto:

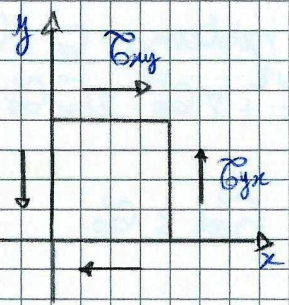
ESAGONO FRESCA



ELLISSE H-M-H



L'esagono è più redditivo dell'ellisse: l'area è minore.  
 Vediamo il caso di puro taglio!



$$\hat{\tau} = \begin{bmatrix} 0 & \tilde{v} \\ \tilde{v} & 0 \end{bmatrix}$$

$$\text{Gid} = \begin{cases} \sqrt{3} \tilde{v} & \tilde{v} \leq \tilde{v}_0 = \frac{6}{\sqrt{3}} \\ 2 \tilde{v} & \tilde{v} \leq \tilde{v}_0 = \frac{6}{2} \end{cases}$$

$$\tilde{\sigma}_{I,II} = \frac{16}{2} + \frac{\sqrt{16^2 + 4 \cdot 6^2}}{2}, \quad \tilde{\sigma}_{III} = 0$$

Il criterio di H-M-H è suscettibile di interpretazione energetica:

$$e = \frac{1}{2} \tilde{\sigma} \tilde{\epsilon} = e_v + e_d$$

volumetrica  
(cambio di volume)

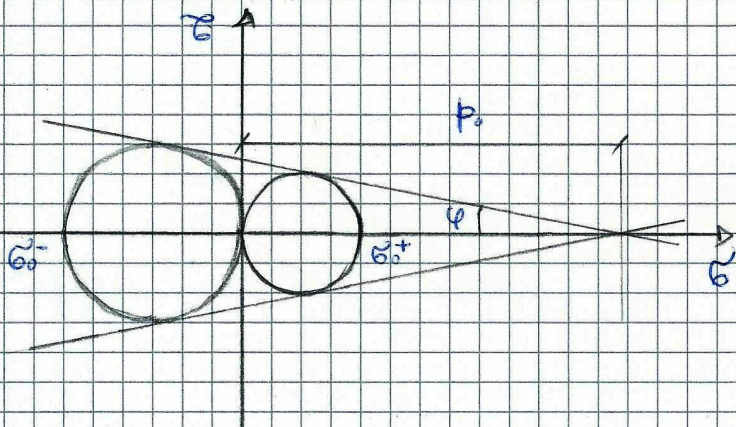
dilatante  
(cambi di forma)

È il criterio dell'energia di dilatazione elastica.

## Il criterio di Mohr

È un criterio semi-sperimentale valido per materiali non metallici. È stato ideato da Mohr e da Coulomb.

Dobbiamo disegnare i due cerchi di Mohr legati alle prove di trazione e di compressione (in realtà si possono usare molte più prove). Si disegna poi la curva (nel nostro caso due rette) tangente alle circonferenze:



In cui poi è la tensione di crisi idrostatica, per l'angolo di attrito solido. Le due rette rappresentano la curva intrinseca del materiale, che separa le circonference rappresentative degli stati elasticci da quelle rappresentative degli stati omelastici.

## Il metodo delle tensioni ammissibili

Dopo i commenti sul criterio di Mohr vedremo alcuni su questo metodo, usato in ambito tecnico anche se non più contemplato dalle normative. È comunque molto utile ed è un metodo di verifica di resistenza del materiale di livello zero o deterministico.

Si impone:

$$\gamma_m \geq 1 \quad G_{\text{tol}} \leq G_{\text{amm}} := \frac{G_0}{\gamma_m}$$

$\gamma_m$  è il coefficiente di incertezza del materiale. In ambito ingegneristico si vuole rimanere lontani non solo dalle crisi del materiale, ma anche da quelli incipiente. Ciò per ragioni di sicurezza. Si conosce bene il materiale perciò ammesso (detta  $G_0$  tensione di sicurezza):

$$G_{\text{tol}} \leq G_{\text{amm}} = G_0 \cdot \gamma_s \quad \text{e per simmetria} \quad |G_{\text{tol}}| \leq G_{\text{amm}}$$